

## مدل‌سازی عددی پاسخ خط ساحلی به موج شکن‌های مغروق چند منظوره ۷ شکل

مجتبی تجزیه‌چی<sup>۱\*</sup>، حامد حاجی‌نیا<sup>۲</sup>

۱- استادیار، دانشکده‌ی فنی و مهندسی، دانشگاه هرمزگان، استان هرمزگان، پست الکترونیکی: m.tajziehchi@hormozgan.ac.ir  
۲- دانشجوی کارشناسی ارشد، دانشکده‌ی فنی و مهندسی، دانشگاه هرمزگان، استان هرمزگان، پست الکترونیکی: hamed.hadjinia@gmail.com

تاریخ پذیرش: ۹۱/۱۲/۱۹

\* نویسنده مسؤول

تاریخ دریافت: ۹۱/۵/۲۲

© نشریه علمی - پژوهشی اقیانوس‌شناسی ۱۳۹۲، تمامی حقوق این اثر متعلق به نشریه اقیانوس‌شناسی است.

### چکیده

موج شکن‌های مغروق در سال‌های اخیر به عنوان یکی از سازه‌های ساحلی موثر به منظور محافظت از ساحل در برابر فرسایش مورد استفاده قرار گرفته‌اند. این سازه‌ها با مستهلك کردن انرژی موج باعث کاهش میزان انرژی رسیده به ساحل می‌شوند. در مطالعه‌ی حاضر، پاسخ خط ساحلی به یک موج شکن مغروق چندمنظوره ۷ شکل و با رویکردی جدید (استفاده از مدل غلتشی) به صورت عددی مورد بررسی و تحلیل قرار گرفته است. نتایج حاصل از مجموعه‌ای از مدل‌سازی‌های عددی دوبعدی به صورت متوسط‌گیری شده در عمق، نشان می‌دهند که پاسخ خط ساحلی به موج شکن‌های مغروق چندمنظوره ۷ شکل، بسته به فاصله‌ی آن از خط ساحلی، بین حالت فرسایش یا احیا متغیر است. البته عامل دیگری همچون تراز تاج موج شکن نیز نقش مهمی در تغییرات نیمرخ ساحل دارد. اگرچه تغییر تراز تاج، موجب تغییر در میزان پاسخ خط ساحلی می‌شود، اما بر روی حالت پاسخ خط ساحلی (فرسایش یا احیا) بی‌تأثیر است.

کلمات کلیدی: موج شکن‌های مغروق چندمنظوره ۷ شکل، مدل‌سازی عددی، پاسخ خط ساحلی

### ۱. مقدمه

از سواحل، آثار منفی کمتری بر منطقه‌ی استقرار خود ایجاد می‌کند. این امر موجب گردیده است که مهندسین و مدیران سواحل، سازه‌های مغروق را به عنوان یکی از سامانه‌های موثر و قابل انطباق با محیط زیست به کار ببرند (Evans and Ranasinghe, 2001; Ranasinghe et al., 2001). از سوی دیگر با بهینه کردن هندسه‌ی سازه‌ی مغروق برای ایجاد شکستهای شدید امواج، می‌توان شرایط مناسبی را برای ورزش موج سواری و جاذبه‌های گردشگری فراهم نمود.

استفاده از سازه‌های متعارف حفاظت از سواحل مانند آب‌شکن‌ها و موج‌شکن‌های نمایان، در سال‌های اخیر به طور چشمگیری کاهش یافته که این امر را می‌توان به آثار نامطلوب احداث این نوع سازه‌ها بر روی چشم انداز طبیعی ساحل و محیط زیست اطراف آن نسبت داد. یکی از روش‌های نوین حفاظت، استفاده از موج‌شکن‌های مغروق است که ضمن حفاظت

در جدیدترین مطالعه، Ranasinghe و همکاران (۲۰۰۶) با استفاده از مدل‌سازی فیزیکی و عددی، پاسخ خط ساحلی به یک موج شکن مغروف چندمنظوره را به صورت کیفی بررسی کردند. در این مطالعه، مدل‌سازی عددی با استفاده از نرم‌افزار MIKE 21CAMS 21 انجام شده است. استفاده از این نرم‌افزار برای بررسی پاسخ خط ساحلی دارای دو نقص عمده است. اولین مورد، عدم توانایی نرم‌افزار مذکور در مدل‌سازی فرسايش خط ساحل است. مطالعات نشان داده است که عدم دخالت تغییرات خط ساحل در مدل‌سازی‌های عددی، منجر به نتایج غیر واقعی در شکل و حجم روئینگ (Roelvink et al., 2006). از سوی دیگر در فرآیند مدل‌سازی هیدرودینامیکی استهلاک موج، از رابطه‌ی Batjess و Jansen (۱۹۷۵) بهره‌گیری شده و جریان عبوری از روی موج شکن با استفاده از گرادیان تنش‌های تابشی محاسبه گردیده و اثر جریان ناشی از غلت‌ش‌های به وجود آمده‌ی ناشی از شکست موج نادیده گرفته شده است. بنابراین در تحقیقات Ranasinghe و همکاران (۲۰۰۶)، پارامترهای تعیین کننده در فرآیند تغییرات خط ساحلی به طور کامل در نظر گرفته نشده و مدل‌سازی واقعی‌تر پاسخ خط ساحلی نیاز به مطالعات بیشتری دارد.

هدف اصلی این مطالعه تمرکز بر روی پاسخ خط ساحلی به یک موج شکن مغروف چندمنظوره با در نظر گرفتن پارامترهای موثر و تعیین کننده‌ی حالت پاسخ خط ساحلی (فرسايش یا احیا) است. در مدل‌سازی هیدرودینامیکی اثر جریان‌های غلت‌شی ناشی از شکست موج روی موج شکن در نظر گرفته شده (Roelvink, 1993) و تأثیر دو پارامتر فاصله‌ی موج شکن مغروف از ساحل و عمق استغراق تاج سازه بر تغییرات خط ساحلی مورد بررسی قرار گرفته است. در مدل‌سازی ریخت‌شناختی از تکنیک‌های نوین به منظور شبیه‌سازی دقیق‌تر فرسايش و احیا استفاده شده است.

## ۲. مدل‌سازی عددی

در مدل‌سازی عملکرد موج شکن مغروف چند منظوره از نسخه‌ی تحقیقاتی بسته‌ی نرم افزاری Delft3D v.3.27.01 استفاده گردیده است. نرم افزار مذکور یک برنامه‌ی چند بعدی مبتنی بر فرآیندهای مرحله‌ای شبیه‌سازی هیدرودینامیکی و مورفودینامیکی بوده که توسط دانشگاه صنعتی دلفت کشور هلند توسعه پیدا کرده است.

به منظور ایجاد شکست‌های شدید بر روی موج شکن‌های مغروف چندمنظوره برای ورزش موج‌سواری، شکل کلی سازه در پلان باید به شکل حرف لاتین «V» بوده و نوک آن رو به ناحیه‌ی فراساحلی و در جهت امواج غالب در منطقه باشد. هندسه‌ی مذکور موجب می‌شود که در اثر پدیده‌ی چرخش موج<sup>۱</sup>، امواج هر چه بیشتر بر روی سازه تمرکز یافته و در نتیجه، شکست‌ها تشید شوند (Pattiaratchi, 1999; Black and Mead, 2001). در جدول ۱ تعدادی از موج شکن‌های مغروف چندمنظوره به همراه موقعیت مکانی، وضعیت احداث و کاربری اصلی آن‌ها ذکر شده است. اگرچه در سال‌های اخیر جنبه‌های کاربرد موج شکن‌های مغروف چندمنظوره برای ورزش موج سواری به طور گسترده‌ای مورد بررسی و مطالعه قرار گرفته است (Black and Mead, 2001; Mead and Black, 2001 a, b, c; Dally, 2001) اما هنوز اطلاعات اندکی در مورد پاسخ خط ساحلی به این قبیل سازه‌ها وجود دارد. مرور اجمالی مطالعات پیشین نشان می‌دهد که نه تنها در مورد پاسخ خط ساحلی به موج شکن‌های مغروف چندمنظوره، بلکه به طور کلی در مورد پاسخ خط ساحلی به سازه‌های مغروف نیز مطالعات نسبتاً اندکی صورت گرفته است. در سال‌های اخیر به منظور بررسی پارامترهای محیطی و سازه‌ای تعیین کننده‌ی پاسخ خط ساحلی به موج شکن‌های مغروف، مطالعات نسبتاً گسترده‌ای به صورت گردآوری اطلاعات مربوط به مشاهدات میدانی، مدل سازی‌های آزمایشگاهی و مدل‌سازی‌های عددی انجام شده است. مشاهدات میدانی (Ranasinghe and Turner, 2006) مربوط به ۱۰ مورد از سازه‌های مغروف، نشان داد که در ۷۰ درصد موارد، سازه‌ی مغروف موجب فرسايش ناحیه‌ی سایه‌ی خود شده است. نتایج حاصل از مدل‌سازی‌های عددی انجام شده توسط Nobuoka و همکاران (۱۹۹۶) و Loveless (1999) و همین‌طور مدل‌سازی‌های آزمایشگاهی انجام شده توسط MacLeod و Loveless (1999) و Turner و همکاران (2001) بیانگر این مطلب است که احداث موج شکن مغروف در خطوط ساحلی با نرخ بالای انتقال رسوب امتداد ساحل، احتمالاً موجب احیای ساحل در قسمت سایه‌ی سازه خواهد شد. از سوی دیگر در سواحلی با رژیم امواج غالباً عمود بر ساحل، موج شکن مغروف آن قسمت خواهد گردید (Ranasinghe and Turner, 2006).

<sup>۱</sup> Refraction

جدول ۱- موج‌شکن‌های مغروف چندمنظوره (ASR, 2004)

Name	Location	Status	Primary Purpose
Cables Reef	Cables Station, Western Australia	Construction Completed 1999	Surfing Enhancement
Narrowneck Reef	Gold Coast, Australia	Construction Completed 2000	Coastal Protection
Pratte's Reef	El Segundo, California	Construction Completed 2001	Surfing Enhancement
Mount Reef	Mount Maunganui, New Zealand	Construction 70% Complete	Surfing Enhancement
Opunake Reef	Opunake, New Zealand	Construction 30% Complete	Surfing Enhancement
Boscombe Reef	Bournemouth, England	Construction to begin June 2008	Surfing Enhancement
Kovalam Reef	Kerala, India	Construction to begin Nov 2008	Surfing Enhancement
Wells Estate	Port Elizabeth, South Africa	Detailed Design Complete	Coastal Protection
Blue Water Bay	Port Elizabeth, South Africa	Detailed Design Complete	Coastal Protection
New Beach	Port Elizabeth, South Africa	Detailed Design Complete	Coastal Protection
Pollock Beach	Port Elizabeth, South Africa	Detailed Design Complete	Coastal Protection
Orewa	Orewa, New Zealand	Detailed Design Complete	Coastal Protection

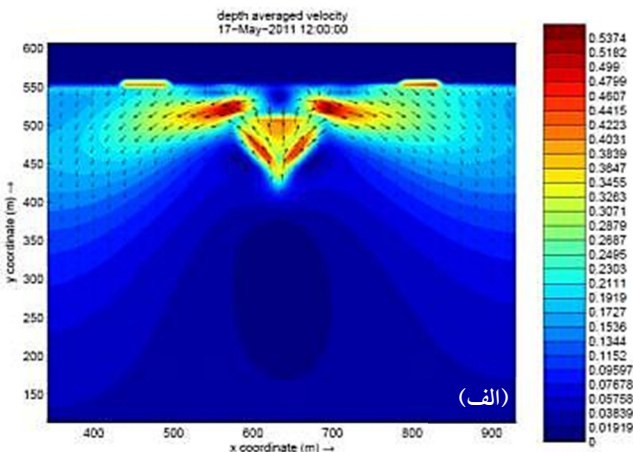
شكل موج‌شکن شامل یک مثلث متساوی الساقین در تاج موازی با افق است که وجوه جانبی آن با شیب ملایم ۱:۱۲ در قسمت فراساحلی با هم تلاقی پیدا می‌کنند. قسمت رو به خشکی موج-شکن نیز دیواره‌ای عمودی است. طول سازه (طول تاج سازه در امتداد ساحل در لبهٔ رو به ساحل آن) و عرض آن (عرض تاج سازه در جهت عمود بر خط ساحلی) برای تمامی شبیه‌سازی‌ها ثابت و به ترتیب برابر ۱۰۰ متر و ۵۰ متر است. تمامی ابعاد مذکور، بر اساس دستورالعمل پیشنهادی Pattiaratchi (۱۹۹۹) و Black and Mead (۲۰۰۱) برای طراحی موج‌شکن‌های مغروف چندمنظوره، انتخاب شده است. با افزایش فاصلهٔ موج‌شکن از خط ساحلی، یک دیوارهٔ عمودی پیرامون پایهٔ موج‌شکن در نظر گرفته می‌شود تا سطح اشغال شده از بستر توسط پایهٔ سازه، ثابت باقی بماند. دیوارهٔ عمودی مذکور در عمل با استفاده از سازه‌های صندوقه‌ای<sup>۱</sup> اجرا می‌گردد. در این مطالعه از ضرایب زبری‌های متفاوت برای بستر و بدنهٔ موج‌شکن استفاده شده است. به‌منظور مقایسهٔ نتایج مدل‌های عددی، این مطالعه با Ranasinghe نتایج مدل‌سازی‌های آزمایشگاهی انجام شده توسط و همکاران (۲۰۰۶) مقایسه شده است. به علاوه، شرایط حاکم بر شبیه‌سازی‌های عددی مطابق با آزمایشات مذکور در نظر گرفته شده است. در مدل‌سازی امواج، از طیف موج «JONSWAP» با مشخصات ارتفاع موج مشخصهٔ ۱/۵ متر و دورهٔ تناوب اوج<sup>۲</sup> ۱۰ ثانیه استفاده گردید. جهت غالب امواج برای حالت برخورد عمودی، ۹۰ درجه نسبت به امتداد خط ساحلی در نظر گرفته شد. در تمامی شبیه‌سازی‌ها برای تولید جریان‌های امتداد ساحلی، مقدار پراکنش جهتی<sup>۳</sup> پیرامون غالب امواج، ۴۵ درجه

<sup>1</sup> Caisson<sup>2</sup> Peak period<sup>3</sup> Directional spreading

نرم افزار مذکور دارای مدل‌های مختلفی است که در این مطالعه از مدل‌های Morph و WaveFlow می‌باشد. در حالت دو بعدی متوسط گیری شده در عمق استفاده گردیده است. مدل Wave بر پایهٔ مدل طیفی SWAN مبتنی بوده و شامل تولید و انتشار موج، تولید موج توسط باد، برهمکنش غیر خطی امواج، واپاشی انرژی امواج برای بستر موجود و جریان‌های تولید شده در اثر امواج است. در مدل FLOW، معادلات ناویه-استوکس به همراه فرضیات بوسینسک به کار گرفته شده است و حل می‌گردد. این مدل، مدل مرکزی نرم افزار بوده و پایهٔ هیدرودینامیکی سایر مدل‌ها است. در این مدل فرآیندهای انتقال رسوب و تغییرات بستر به صورت همزمان با تغییرات هیدرودینامیکی محاسبه می‌گردد (Deltasoft, 2010). در مدل Morph با بهره‌گیری از نتایج دو مدل گذشته، نرخ انتقال رسوب و تغییرات بستر محاسبه می‌شود.

به‌منظور مقایسهٔ نتایج مدل عددی با مدل‌سازی آزمایشگاهی انجام شده توسط Ranasinghe و همکاران (۲۰۰۶)، یک گسترهٔ مستطیل شکل به ابعاد ۱/۲۵ کیلومتر در ۰/۶ کیلومتر به عنوان دامنهٔ مورد مطالعه در مدل عددی در نظر گرفته شده است (نسبت مدل فیزیکی به مدل عددی، ۱:۵۰ است). ابعاد سلول‌های استفاده شده در هر دو مدل در محل استقرار سازه برابر ۵ متر در ۵ متر بوده که به تدریج و با دور شدن از سازه در امتداد ساحل به ۵ متر (در جهت عمود بر ساحل) در ۲۵ متر (موازی ساحل) افزایش داده می‌شود. ابعاد سلول‌ها در جهت عمود بر خط ساحلی، ثابت و برابر ۵ متر است. برای دستیابی به نتایج هر چه دقیق‌تر، نیمرخ بستر به صورت یکنواخت در امتداد ساحل در نظر گرفته می‌شود. در جهت عمود بر ساحل نیز، نیمرخ ساحل منطبق بر نیمرخ تعادلی «Dean» در نظر گرفته می‌شود. موج‌شکن استفاده شده در این مطالعه، به شکل حرف لاتین «V» در پلان است.

derBiezen و همکاران (۱۹۹۸) مدل‌سازی‌های عددی توسط Lesser و همکاران (۲۰۰۳) گزارش شده است.



(الف)



(ب)

شکل ۱- الگوی جریان در پشت موج شکن برای مدل SNCL1-100 الف- محاسبه شده توسط مدل عددی، ب- ردیابی شده برای مدل فیزیکی Ranasinghe و همکاران (۲۰۰۶)

الگوی جریان‌های ساحلی برای بستر اولیه در حالتی که فاصله‌ی نوک تاج سازه از خط ساحلی اولیه برابر  $250$  متر باشد (مدل SNCL1-250) در شکل ۲ نمایش داده شده است. در این حالت نیز مشابه حالت قبلی، تاج موج شکن  $5/0$  متر پایین‌تر از تراز متوسط آب قرار دارد. نتایج نشان‌گر تمریز امواج بر روی نوک فراساحل سازه و یک جریان قوی به سمت ساحل بر روی تاج آن است. در این حالت علاوه بر دو سلول چرخشی مشاهده شده در حالت قبل (فاصله‌ی سازه از ساحل  $100$  متری)، دو سلول چرخشی دیگر نیز در مجاورت خط ساحلی مشاهده می‌گردد. سلول‌های چرخشی در دو وجه کناری موج شکن در

منظور شده است. در این مطالعه تاثیر جزر و مد و باد در نظر گرفته نشده است. بهدلیل آنکه سازه‌های مذکور اغلب در سواحل تقریحی با بستر ماسه‌ای احداث می‌شوند، رسوبات بستر از نوع ماسه‌ای با قطر متوسط ( $D_{50}$ ) برابر  $25/0$  میلی‌متر انتخاب شده است (Ranasinghe et al., 2006). برای اطمینان از دستیابی به تعادل هیدرودینامیکی قبل از شروع فرآیندهای مورفودینامیکی، تمامی شبیه‌سازی‌ها در هر دو مدول موج و جریان مورد استفاده، به مدت  $12$  ساعت اجرا گردیدند. شرایط حاکم بر مدل‌سازی‌های عددی در جدول ۲ نشان داده شده است و تمامی مدل‌ها تا دستیابی به تعادل مورفودینامیکی اجرا گردیدند.

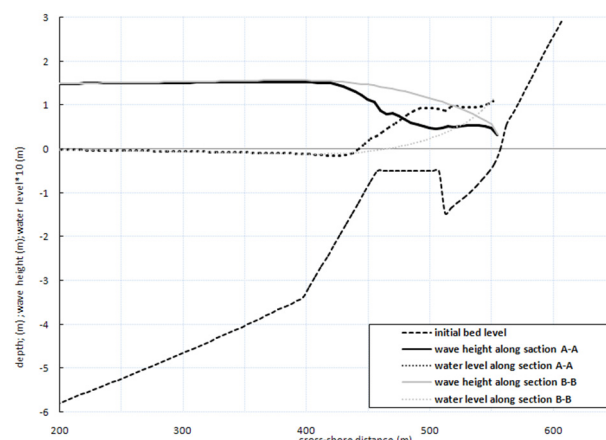
جدول ۲- شرایط هندسی موج شکن در شبیه‌سازی عددی

تراز تاج سازه (زیر سطح) متروز آب (برابر با $1/0$ -متر)	تراز تاج سازه (زیر سطح) متروز آب (برابر با $5/0$ -متر)	فاصله‌ی خط ساحلی اولیه از نوک تاج سازه (متر)
۱۰۰	SNCL1-100	SNCL2-100
۱۵۰	SNCL1-150	SNCL2-150
۲۵۰	SNCL1-250	SNCL2-250
۳۵۰	SNCL1-350	SNCL2-350
۴۵۰	SNCL1-450	SNCL2-450

### ۳. بررسی الگوی جریان‌های ساحلی

الگوی جریان‌های ساحلی بعد از رسیدن به حالت تعادل هیدرودینامیکی برای بستر اولیه، در حالتی که فاصله‌ی نوک فراساحلی تاج موج شکن مغروف، در فاصله‌ی  $100$  متری از خط ساحلی اولیه قرار دارد (مدل SNCL1-100)، در شکل ۱ نشان داده شده است. تاج سازه در این مدل  $5/0$  متر پایین‌تر از تراز متوسط سطح آب قرار دارد. نتایج مدل عددی نشان دهنده‌ی تمرکز نسبی امواج در نوک فراساحل موج شکن، جریان‌های شدید و واگرا بر روی تاج مسطح سازه و ایجاد دو سلول چرخشی در خلاف جهت یکدیگر در دو وجه کناری آن است. این الگوی چرخشی، ناشی از جریان شدید عبوری از روی تاج سازه بوده که در برخورد با خط ساحلی واگرا شده و دو جریان واگرا در امتداد ساحل ایجاد می‌نماید. همان‌طور که در شکل ۱ مشاهده می‌شود، الگوی جریان در پشت موج شکن با نتایج مدل-سازی فیزیکی کیفی Ranasinghe و همکاران (۲۰۰۶) همخوانی خوبی دارد. الگوهای مشابهی نیز پیرامون موج شکن‌های مغروف بر اساس مشاهدات میدانی توسط Funakoshi و همکاران (۱۹۹۷) و Dean و همکاران (۱۹۹۴)، در مدل‌سازی‌های آزمایشگاهی توسط Nobuoka و همکاران (۱۹۹۸)، Van

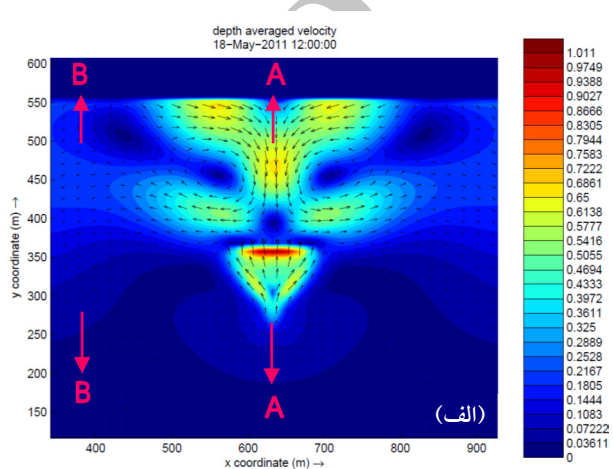
چرخشی دو سلولی به یک سامانه‌ی متقارن چهار سلولی، طی افزایش فاصله‌ی سازه از خط ساحلی است. شکل ۳ نیمرخ سطح آب، ارتفاع موج و تراز اولیه‌ی بستر را در دو مقطع A-A (عبوری از روی موج شکن) و B-B (در فاصله‌ی ۲۵۰ متری از محور تقارن موج شکن و بر روی ساحل مسطح) در حالتی که نوک تاج موج شکن در فاصله‌ی ۱۰۰ متری از خط ساحلی اولیه قرار دارد (مدل SNCL1-100) نشان می‌دهد. کاهش ارتفاع موج در داخل ناحیه‌ی شکست و بر روی تاج سازه در مقطع A-A موجب می‌شود که تراز سطح آب در این مقطع بالاتر از مقدار آن در مقطع B-B باشد. گردایان مذکور در تراز سطح آب بین دو مقطع، موجب ایجاد جریان‌های واگرا در ناحیه‌ی سایه‌ی سازه در هر دو نیمه‌ی سمت راست و چپ و همچنین در امتداد خط ساحلی می‌گردد. فاصله‌ی اندک میان وجه رو به خشکی سازه و خط ساحلی، موجب محدود شدن جریان عمود بر ساحل گذرنده از روی تاج سازه می‌گردد.



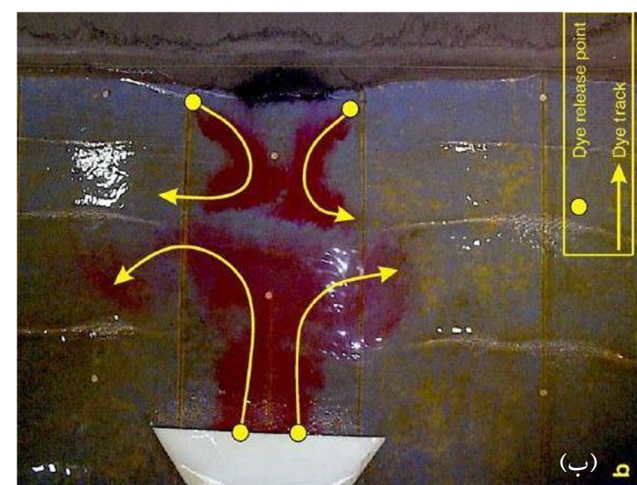
شکل ۳- نیمرخ ارتفاع موج، تراز سطح آب و عمق بستر در مقطع A-A و B-B در مدل SNCL1-100

بنابراین عامل اصلی ایجاد جریان‌های امتداد ساحلی در قسمت سایه‌ی سازه، ناشی از گردایان تراز سطح آب در امتداد ساحل بوده که ناشی از خیزآب موج در این قسمت است. علاوه بر موارد ذکر شده در بالا، جریان‌های ناشی از شکست مورب امواج بر روی دو وجه کاری موج شکن چندمنظوره نیز در جریان‌های گذرنده از روی تاج سازه و جریان‌های مجاور خط ساحلی در قسمت سایه‌ی سازه، مشارکت می‌کند. مورد اخیر به‌دلیل شکل خاص این نوع سازه‌ها می‌باشد. در مجموع تمامی فرآیندهای توضیح داده شده منجر به یک الگوی متقارن شامل دو سلول

نتیجه‌ی جریان رو به ساحل بر روی تاج سازه ایجاد می‌گردد که در برخورد با سلول‌های مجاور خط ساحلی، واگرا شده و منجر به ایجاد دو جریان در امتداد خط ساحلی (در فاصله‌ی میان موج شکن و ساحل) می‌شود. در این حالت، جهت چرخش سلول‌های مجاور خط ساحلی به گونه‌ای است که منجر به ایجاد دو جریان همگرا در خط ساحلی می‌شود. در این حالت نیز، الگوی جریان توصیف شده ناشی از مدل‌سازی عددی، انطباق خوبی با نتایج مدل‌سازی‌های فیزیکی کیفی (Ranasinghe et al., 2006) دارد.



(الف)



(ب)

شکل ۴- الگوی جریان پشت موج شکن برای مدل SNCL1-250 الف- محاسبه شده توسط مدل عددی، ب- ردیابی شده برای مدل فیزیکی (Ranasinghe و همکاران ۲۰۰۶)

با توجه به نتایج بدست آمده‌ی فوق، مشخصه‌ی بارز و قابل ذکر در مورد الگوی جریان‌های ساحلی حاصل از برخورد عمودی امواج، تغییر حالت این الگوها از یک سامانه‌ی متقارن

### ۳-۱. بررسی تاثیر تراز تاج سازه بر الگوی جریان

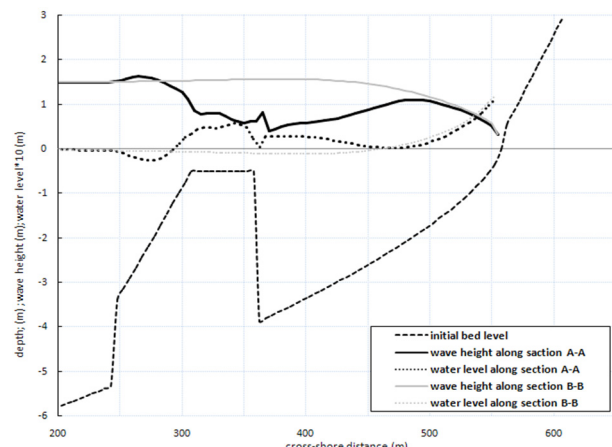
به منظور بررسی تاثیر تراز تاج موج شکن مغروف، مجموعه‌ای از مدل سازی‌های عددی شامل تعداد پنج مدل با در نظر گیری تراز تاج در عمق یک متري یا به عبارت دیگر با نسبت عمق استغراق تاج به ارتفاع موج در آب عمیق، برابر  $0.33$ .

$$\left(\frac{S}{H_0}\right) = 0.33$$

انجام گردید (جدول ۱). نتایج نشان می‌دهند که در این حالت هیچ تغییری در الگوی جریان‌ها ایجاد نمی‌گردد. بدین معنی که الگوهای جریان‌های ایجاد شده در مدل‌های مربوطه با الگوهای متناظر آن در مدل‌هایی با عمق استغراق  $0.5$  متری

$$\left(\frac{S}{H_0}\right) = 0.67$$

کاملاً یکسان است. تنها تاثیر قابل ملاحظه افزایش عمق استغراق، تضعیف کلی شدت جریان‌های ایجاد شده در مجاورت خط ساحلی است.



شکل ۴- نیمرخ ارتفاع موج، تراز سطح آب و عمق بستر در مقطع A-A و B-B در مدل SNCL1-250

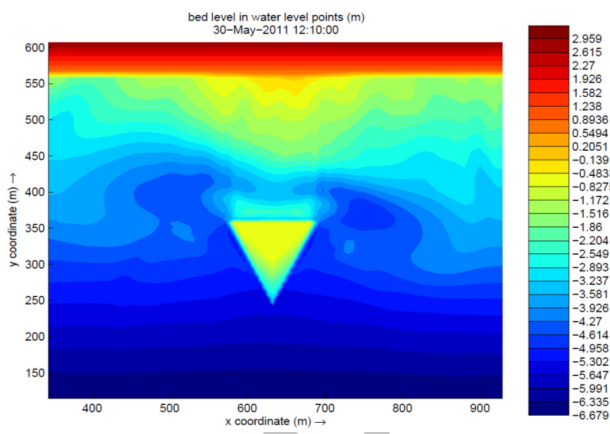
### ۳-۲. پاسخ خط ساحلی

نرم افزار Delft3D قابلیت مدل‌سازی تغییرات خط ساحلی را با دقت مناسبی دارد. در این مطالعه از نیمرخ تعادلی «Dean» برای بستر اولیه استفاده گردیده که در آن، شیب بستر در مجاورت خط آب تند است. با توجه به عدم دخالت دادن جزر و مد در

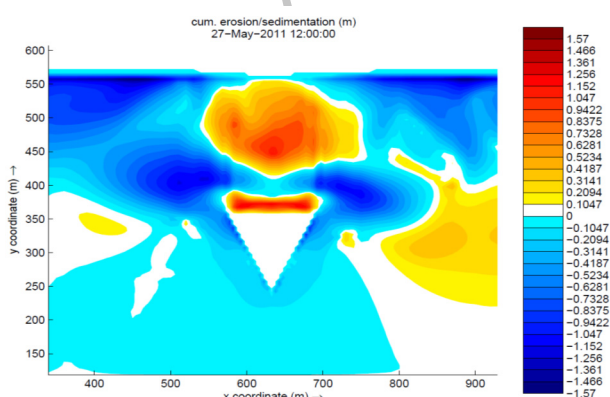
چرخشی متقاضی نسبت به مقطع A-A به همراه جریان‌های واگرا در قسمت سایه‌ی سازه در مجاورت خط ساحلی می‌گردد.

شکل ۴، نیمرخ سطح آب، ارتفاع موج و تراز اولیه‌ی بستر را در دو مقطع A-A و B-B در حالتی که نوک تاج موج شکن در فاصله‌ی ۲۵۰ متری از خط ساحلی اولیه قرار دارد (مدل SNCL1-250) نشان می‌دهد. در این مورد به دلیل فاصله‌ی زیاد بین سازه و خط ساحلی، جریان‌های گذرنده از روی تاج سازه محدود نمی‌گردد. همچنین بر خلاف مورد قبلی (مدل SNCL1-100)، در این مورد بیشینه مقدار خیزآب موج بر روی قسمت شیبدار رو به ناحیه‌ی فراساحلی ایجاد شده و در طول تاج سازه به تدریج کاهش یافته و به تراز متوسط دریا نزدیک می‌شود. بخشی از گرادیان ایجاد شده در تنفس تابشی در داخل ناحیه‌ی شکست موجب رانش جریان در جهت عمود بر خط ساحلی از روی تاج سازه می‌گردد. در نقاطی که میزان خیزآب بسیار ناچیز می‌شود جریان عمود بر خط ساحلی نیز تقریباً برابر صفر است. با توجه به شکل ۴ مشاهده می‌شود که بخشی از واپاشی موج بر روی تاج سازه رخ می‌دهد که به همراه گرادیان فشار هیدرواستاتیکی ناشی از خیزآب، موجب حفظ جریان عمود بر خط ساحلی بر روی تاج سازه می‌شود. خیزآب مثبت کوچکی که در پشت موج شکن مشاهده می‌شود باعث ایجاد گرایان فشار هیدرواستاتیکی شده و باعث ایجاد جریان‌های واگرا در این بخش می‌گردد. در این مورد نیز مشابه با مدل قبل (SNCL1-100)، جریان‌های ناشی از شکست مورب امواج بر روی دو وجه کناری موج شکن در جریان‌های عبوری از روی تاج سازه و جریان‌های مجاور خط ساحلی مشارکت می‌کنند. فاصله‌ی نسبتاً زیاد وجه رو به خشکی موج شکن و خط ساحلی موجب شکل‌گیری و انتشار دوباره‌ی امواج در قسمت سایه سازه می‌شود. در اثر شکست این امواج و خیزآب حاصل از آن، گرادیانی در این ناحیه و در مجاورت خط ساحلی ایجاد می‌گردد اما با توجه به این که ارتفاع امواج مذکور از ارتفاع امواج مجاور آن در مقطع B-B کمتر است، گرادیان حاصل موجب رانش جریان‌ها از هر دو طرف به داخل ناحیه‌ی سایه‌ی سازه می‌گردد. جریان‌های مذکور در مجاورت خط ساحلی همگرا شده و به منظور اقناش شرط تعادل جرم، به سمت ناحیه‌ی فراساحلی تغییر جهت می‌دهد که این پدیده موجب ایجاد الگوی چرخشی می‌شود. الگوی نهایی، شامل چهار سلول چرخشی متقاضی نسبت به مقطع A-A، به همراه جریان‌های همگرا در مجاورت خط ساحلی در ناحیه‌ی سایه‌ی سازه است.

با قرارگیری سازه در فاصله‌ی ۲۵۰ متری از خط ساحلی اولیه، یک پیش‌آمدگی رو به ناحیه‌ی فراساحل در خط ساحلی ایجاد می‌گردد. جایه‌جایی بیشینه‌ی کانتور با عمق ۰/۵ متر در این حالت برابر ۲۲ متر به سمت فراساحل است (شکل ۷). احیای ناحیه‌ی مجاور خط ساحلی (حدود ۱/۲ متر)، فرسایش موضعی (حدود ۰/۳ متر) در حد فاصل خط ساحلی و وجه رو به خشکی موج شکن و فرسایش (حدود ۰/۴ متر) در دو طرف ناحیه‌ی احیا شده در خط ساحلی در شکل ۸ نشان داده شده است. با توجه به مطالب فوق، اگرچه برخورد عمودی امواج در حالتی که موج شکن در فاصله‌ی نزدیک به ساحل قرار دارد، موجب فرسایش خط ساحلی می‌شود، اما با افزایش فاصله‌ی سازه از خط ساحلی، حالت احیا را در ساحل در بخش سایه‌ی سازه خواهیم داشت. نتایج مشابهی در مدل‌سازی فیزیکی Ranasinghe و همکاران (۲۰۰۶) و مدل‌سازی‌های عددی برای موج شکن‌های مغروق موازی خط ساحل در تحقیقات Lesser و همکاران (۲۰۰۳) و Ranasinghe و همکاران (۲۰۱۰) مشاهده شده است.

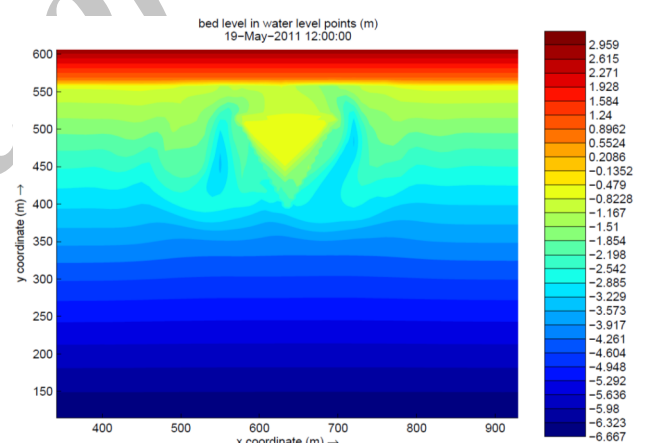


شکل ۷- نیمرخ تعادل بستر در مدل عددی برای مدل SNCL1-250

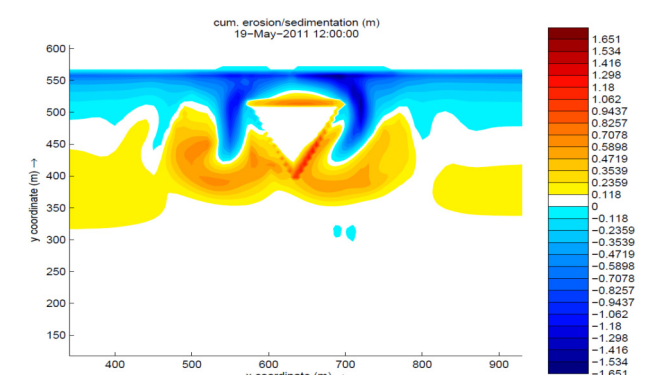


شکل ۸- فرسایش و احیای ایجاد شده در بستر در مدل عددی برای مدل SNCL1-250

مدل‌سازی و همچنین عمق کم آب در مجاورت خط ساحلی، جایه‌جایی افقی کانتور با عمق ۰/۵ متر به عنوان پاسخ خط ساحلی در نظر گرفته می‌شود. لازم به ذکر است که از آنجایی که نتایج آزمایشگاهی تنها شامل الگوی جریان و شکل کلی (کیفی) تغییرات ساحلی است (Ranasinghe et al., 2006)، فقط به صحت‌سنگی کیفی اکتفا شده است. از سوی دیگر از آنجا که الگوی انتقال رسوب و رسوب‌گذاری تابع مستقیم شکل جریان می‌باشد، درستی الگوی جریان به درستی الگوی انتقال رسوب (به صورت کیفی) منجر می‌شود. در شرایطی که موج شکن در فاصله‌ی ۱۰۰ متری از خط ساحلی قرار گیرد، جریان‌های واگرای تولید شده در مجاورت خط ساحلی، جایه‌جایی بیشینه‌ی کانتور با عمق ۰/۵ متر برابر ۱۳ متر به سمت خشکی را به وجود می‌آورد (شکل ۵). همچنین فرسایش نسبتاً قابل توجهی (حدود ۱/۵ متر) در ناحیه‌ی سایه‌ی سازه ایجاد می‌شود. رسوبات فرسایش یافته از ناحیه‌ی سایه‌ی سازه، در دو وجه کناری در نزدیکی نوک آن، تنهشین شده و موجب احیای این ناحیه شده‌اند (شکل ۶).



شکل ۵- نیمرخ تعادل بستر در مدل عددی برای مدل SNCL1-100



شکل ۶- فرسایش و احیای ایجاد شده در بستر در مدل عددی برای مدل SNCL1-100

$$\frac{S}{H_0} = 0.67$$

میزان تغییرات خط ساحلی (حجم فرسایش یا احیا) است. بدین معنی که قرارگیری تاج موج شکن در عمق یک متری موجب کاهش مقدار تغییرات بستر اعم از فرسایش یا احیا می‌گردد که این امر را می‌توان به تضعیف کلی شدت جریان‌های ایجاد شده توسط سازه در اثر کاهش تراز تاج آن نسبت داد. لازم به ذکر است که حالت پاسخ خط ساحلی (فرسایش یا احیا) با کاهش تراز تاج سازه، بدون تغییر باقی می‌ماند. خلاصه‌ی نتایج در جدول ۳ نشان داده شده است. در این جدول، علامت منفی نشانگر جابجایی خط ساحل به‌سمت خشکی و بیانگر حالت فرسایش و اعداد مثبت نشانگر جابجایی خط ساحل به‌سمت منطقه‌ی فراساحلی و بیانگر حالت احیا است.

### ۳-۳. برآورد پاسخ خط ساحلی

با توجه به نتایج مدل‌سازی به وضوح می‌توان مشاهده نمود که پاسخ خط ساحلی به یک موج شکن مغروق چند منظوره V‌شکل، می‌تواند به هر دو حالت فرسایش یا احیا باشد. بنابراین ارائه‌ی هر روش تجربی که قادر به پیش‌بینی دقیق‌تر حالت و میزان پاسخ خط ساحلی به سازه‌های مذکور باشد، بسیار مطلوب خواهد بود.

به‌منظور درک بیشتر پاسخ خط ساحلی به موج شکن مغروق چندمنظوره V شکل، تغییرات خط ساحل به ازای جابجایی موج شکن نسبت به ساحل و عمق استغراق در شکل ۹ مورد بررسی قرار می‌گیرد. در این نمودارها، Y جابجایی خط ساحلی نسبت به شرایط اولیه، Sa فاصله‌ی نوک فراساحلی تاج سازه از خط اولیه‌ی ساحل، B طول تاج موج شکن در امتداد خط ساحلی و SZW عرض ناحیه‌ی شکست طبیعی موج (فاصله‌ی خط شکست طبیعی موج از ساحل اولیه) برای بستر تخت و بدون موج شکن است. نسبت  $S_a/SZW$  محور افقی در نمودار شکل ۹ نقش مهمی در تعیین الگوی جریان مجاور ساحل به شکل دو سلولی یا چهارسلولی دارد. با توجه به مطالب بخش ۲-۳ الگوی جریان، کنترل‌کننده‌ی همگرایی یا واگرایی جریان‌های مجاور ساحل بوده و در نتیجه تعیین‌کننده‌ی حالت پاسخ خط ساحل (فرسایش یا احیا) است. این نمودار برای برآورد حالت پاسخ خط ساحلی (فرسایش یا احیا) و میزان جابجایی خط ساحلی با

در حالتی که موج شکن در نزدیکی خط ساحلی قرار داشته باشد، فرسایش ایجاد شده در قسمت سایه‌ی سازه در اثر جریان رو به ساحل در روی تاج ساحلی و جریان‌های واگرای پشت سازه است. چرخش جریان‌های واگرای مذکور به سمت ناحیه‌ی فراساحل و کاهش سرعت آنها در آب عمیق‌تر در دو وجهه کناری سازه در نزدیکی نوک فراساحلی آن، موجب ته نشینی رسوبات در این ناحیه و احیای این بخش می‌شود. در حالتی که موج شکن در فاصله‌ی بیشتری از خط ساحلی قرار داشته باشد، یک پیش‌آمدگی در خط ساحلی در قسمت سایه‌ی سازه ایجاد می‌گردد. علت این پدیده، تجمع رسوبات در ناحیه‌ی مذکور در اثر همگرایی جریان‌های حاصل از الگوی چرخشی در این ناحیه از سایه‌ی سازه در مجاورت خط ساحلی است. فرسایش ناحیه‌ی حد فاصل وجهه رو به خشکی موج شکن و خط ساحلی و همچنین فرسایش دو سمت ناحیه‌ی احیا شده در مجاورت خط ساحلی، در اثر الگوی چرخشی جریان‌ها در این ناحیه ایجاد می‌شود. مقدار جایه‌جایی خط ساحلی برای تمامی مدل‌سازی‌های عددی انجام گرفته در این مطالعه در جدول ۳ خلاصه شده است. با توجه به این نتایج مشاهده می‌شود که تحت شرایط برخورد عمودی امواج، با افزایش فاصله‌ی موج شکن مغروق از خط ساحلی اولیه، میزان فرسایش در خط ساحلی کاهش یافته و سپس به حالت احیا تبدیل می‌شود، تا جایی که بیشترین اندازه‌ی پیش‌آمدگی خط ساحلی، در حالت استقرار سازه در فاصله‌ی ۲۵۰ متری نوک فراساحلی تاج سازه از خط ساحلی اولیه ایجاد می‌گردد. با افزایش مجدد فاصله‌ی موج شکن از خط ساحلی، اندازه‌ی پیش‌آمدگی به تدریج کاهش می‌یابد. دلیل پدیده‌ی اخیر، کاهش تاثیر سازه بر روی فرآیندهای مورفودینامیکی ناحیه‌ی مجاور خط ساحلی است.

جدول ۳- مقادیر جابجایی خط ساحلی محاسبه شده توسط مدل عددی به ازای شرایط مختلف

فاصله‌ی خط ناگذاری نوک تاج موج شکن	تراز تاج سازه (زیر سطح آب) برابر با برای ۰/۵-۱/۰ متر	تراز تاج سازه (زیر سطح آب) برابر	
		نامگذاری نامگذاری خط جابجایی خط ساحلی (متر)	نامگذاری نامگذاری خط ساحلی (متر) آزمایش
۱۰۰	SNCL1-100	-۱۳	SNCL2-100 -۱۲
۱۵۰	SNCL1-150	-۱۰	SNCL2-150 -۱۱
۲۵۰	SNCL1-250	۲۲	SNCL2-250 ۱۸
۳۵۰	SNCL1-350	۱۸	SNCL1-350 ۱۷
۴۵۰	SNCL1-450	۱۳	SNCL2-450 ۸

### ۳-۳-۱. بررسی تاثیر تراز تاج سازه بر پاسخ خط ساحلی

تنها تفاوت قابل ذکر در پاسخ خط ساحلی به موج شکن با تراز تاج در عمق ۱/۰ متری

ساحل (گذرنده از روی تاج سازه)، گرادیان تراز سطح آب در امتداد ساحل (در قسمت سایه‌ی سازه) و جریان‌های چرخشی ایجاد شده در طول دو وجه کناری سازه است.

در حالتی که سازه در نزدیکی خط ساحلی قرار دارد ( $S_a/SZW < 1$ ، یک الگوی چرخشی دو سلولی به همراه جریان‌های واگرا در امتداد خط ساحلی ایجاد می‌گردد که در نتیجه، خط ساحلی در قسمت سایه‌ی سازه، دچار فرسایش موضعی می‌شود. در حالتی که سازه در فاصله‌ی دورتری از خط ساحلی قرار گیرد ( $S_a/SZW > 1.5$ ) یک الگوی چرخشی چهار سلولی به همراه جریان‌های همگرا در خط ساحلی در قسمت سایه‌ی سازه ایجاد می‌شود که موجب احیای موضعی خط ساحلی می‌گردد.

تغییر تراز تاج سازه، موجب تغییر میزان جابجایی خط ساحلی شده و تاثیری بر حالت پاسخ خط ساحلی (فرساش یا احیا) ندارد (نمودار نقطه چین را در شکل ۹ را بینید).

در نهایت، نموداری برای برآورد حالت و میزان پاسخ خط ساحلی به یک موج شکن مغروف چندمنظوره V شکل، ارائه می‌گردد. نمودار مذکور نشان می‌دهد در شرایطی که  $S_a/SZW < 1$  باشد، خط ساحلی دچار فرسایش شده و در شرایطی که  $S_a/SZW > 1.5$  باشد، پدیده‌ی احیای موضعی را در ساحل در قسمت سایه‌ی سازه خواهیم داشت.

بایه‌ی است که عوامل بسیاری همچون ابعاد و زاویه‌ی موج شکن، دانه‌بندی بستر و مشخصات امواج تابیده (ارتفاع، دوره‌ی تنابوب و جهت تابش موج) در تغییرات خط ساحلی موثر بوده و در نتیجه‌ی تغییر پارامترهای مذکور، امکان حصول نتایج به غیر از آنچه در این مطالعه ارائه گردیده است، وجود دارد. لذا بررسی تاثیر تغییر این پارامترها بر روی پاسخ خط ساحلی، می‌تواند مورد تحقیقات بعدی قرار گیرد.

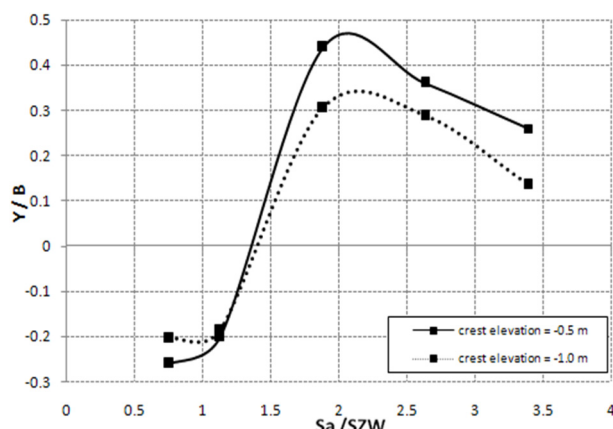
#### منابع

Apotsos, A.; Raubenheimer, B.; Elgar, S., 2007. Effects of wave rollers and bottom stress on wave setup. Journal of Geophysical research, Vol. 112.

ASR., 2004. Oil Piers Reef Phase II. Detailed Design of an Offshore Submerged Reef for Erosion Control at Oil Piers, Ventura County, California. Prepared for

وجود یک موج شکن مغروف چند منظوره V شکل پیشنهاد می‌گردد.

همان‌طور که در شکل ۹ مشاهده می‌شود، در شرایطی که موج شکن مغروف در داخل ناحیه‌ی شکست طبیعی قرار گیرد ( $S_a/SZW < 1$ ، حالت پاسخ خط ساحلی برای برخورد عمودی امواج به صورت فرسایش خواهد بود. با افزایش فاصله‌ی سازه از خط ساحلی میزان فرسایش کاهش یافته و به حالت احیا تبدیل می‌شود.



شکل ۹. پاسخ خط ساحلی به موج شکن مغروف چندمنظوره در حالت برخورد عمودی امواج

در شرایطی که  $S_a/SZW > 1.5$  باشد، یک پیش‌آمدگی در خط ساحلی به وجود خواهد آمد. اندازه‌ی پیش‌آمدگی در خط ساحلی، با افزایش فاصله‌ی سازه از خط ساحلی، افزایش یافته و در نسبت  $S_a/SZW = 2$  به مقدار بیشینه‌ی خود می‌رسد. با افزایش مجدد فاصله‌ی سازه از خط ساحلی، اندازه‌ی پیش‌آمدگی خط ساحلی شروع به کاهش می‌نماید. دلیل این امر، کاهش تاثیر جریان‌های ایجاد شده توسط سازه بر روی الگوی جریان‌های مجاور ساحل است. تاثیر تراز تاج موج شکن مغروف چندمنظوره نیز در شکل ۹ نشان داده شده است (نمودار نقطه چین). کاهش تراز تاج سازه موجب کاهش میزان جابجایی خط ساحلی بدون تغییر در حالت پاسخ خط ساحلی (فرساش یا احیا) می‌گردد.

#### ۴. نتیجه‌گیری

نتایج مدل‌سازی عددی نشان می‌دهند که پاسخ خط ساحلی به یک موج شکن مغروف چندمنظوره V شکل، توسط الگوی جریان‌های ساحلی کنترل می‌شود. این الگوهای شامل جریان رو به

- Coastal Sediments '03. World Scientific Publishing Co., Florida, USA. CD-ROM.
- Loveless, J.H and MacLeod, B., 1999. Influence of sea level Set-up driven currents on sediment movement behind detached breakwaters. Coastal Sediments Conference, New York.
- Loveless, J.H.; and MacLeod, B., 1999. The design and performance of detached breakwaters. MAFF Conference, Keele University.
- Mead, S.; Black, K., 2001a. Field studies leading to the bathymetric classification of world class surfing breaks. *Journal of Coastal Research*, 29: 5–20.
- Mead, S.; Black, K., 2001b. Functional component combinations controlling surfing wave quality at world class surfing breaks. *Journal of Coastal Research*, 29: 21–32.
- Mead, S.; Black, K., 2001c. Predicting the breaking intensity of surfing waves. *Journal of Coastal Research*, 29: 51–65.
- Nobuoka, H.; Irie, I.; Kato, H.; Mimura, N., 1996. Regulation of nearshore circulation by submerged breakwater for shore protection. Proceedings of 25th International Conference on Coastal Engineering. ASCE, Orlando, USA. 2391–2403 pp.
- Pattiaratchi, C., 1999. Design studies for an artificial surfing reef: cable station, Western Australia. Proceedings of Coasts and Ports '99. IEAust, Perth, Australia. 485–489 pp.
- Physical model study of the gold coast artificial reef. *Journal of Coastal Research*, 29: 131–146.
- Ranasinghe, R.; Hacking, N.; Evans, P., 2001. Multi-functional artificial surfbreaks: a review, Report No. CNR 2001.015, NSW Dept. of Land and Water Conservation, Parramatta, Australia.
- Ranasinghe, R.; Turner, I.L. and Symonds, G., 2006. Shoreline response to multi-functional artificial surfing reefs: A numerical and physical modeling study. USACE by ASR Limited, Marine Consulting and Research, Raglan, New Zealand.
- Black, K.; Mead, S., 2001. Design of the gold coast reef for surfing, beachamenity and coastal protection: surfing aspects. *Journal of Coastal Research*, 29: 115–130.
- Calabrese, M.; Vicinanza, D.; Buccino, M., 2008. 2D Wave setup behind submerged breakwaters. *Ocean Engineering*, 35(10): 1015–1028.
- Dally, W., 2001. Improved stochastic models for surfing climate. *Journal of Coastal Research*, 29: 41–50.
- Dean, R.G.; Chen, R.; Browder, A.E., 1997. Full scale monitoring study of a Submerged breakwater, Palm Beach, Florida, USA. *Coastal Engineering*, 29: 291–315.
- Deltires., 2010. Delft3D-FLOW, Simulation of multi-dimensional hydrodynamic flows and transport phenomena, including sediments, user manual.
- Evans, P.; Ranasinghe, R., 2001. Artificial surfing reefs: a new paradigm in coastal protection. Proceedings of Coasts and Ports '01, Gold Coast. IEAust, Australia. 128–133 pp.
- Funakoshi, H.; Shiozawa, T.; Tadokoro, T.; Tsuda, S., 1994. Drifting characteristics of littoral sand around submerged breakwater. Proceedings of International Conference on Hydro-technical Engineering for Port and Harbor Construction. JSCE, Yokosuka, Japan. 1157–1178 pp.
- Haller, M.; Dalrymple, R.; Svendsen, I.A., 2002. Experimental study of nearshore dynamics on a barred beach with rip currents. *Journal of Geophysical Research* 107 (C6), doi: 10.1029/2001JC000955.
- Hutt, J.; Black, K.; Mead, S., 2001. Classification of surf breaks in relation to surfing skill. *Journal of Coastal Research*, 29: 66–81.
- Lesser, G.R.; Vroeg, J.H.; Roelvink, J.A.; de Gerloni, M.; Ardone, V., 2003. Modelling the morphological impact of submerged offshore breakwaters. *Proceedings of*

- Conference on HydroScience and Engineering. Philadelphia, USA. 1-7 p.
- Roelvink, J.A., 2006. Coastal morphodynamic evolution techniques. *Coastal Engineering*, 53(2-3): 277-287.
- Roelvink, J.A., 1993. Dissipation in random wave groups incident on a beach. *Coastal Engineering*, 19(1-2): 127-150.
- Symonds, G.; Black, K.; Young, I., 1995. Wave driven flow over shallow reefs. *Journal of Geophysical Research*, 100 (C2), 2639–2648.
- Van der Biezen, S.C.; Roelvink, J.A.; van de Graaff, J.; Schaap, J.; Torrini, L., 1998. 2DH morphological modelling of submerged breakwaters. *Proceedings of 26<sup>th</sup> International Conference on Coastal Engineering*, 2028–2041 pp.
- Coastal Engineering, 53(7): 589-611.
- Ranasinghe, R.; Larson, M.; Savioli, J., 2010. Shoreline response to a single shore-parallel submerged breakwater. *Coastal Engineering* 57(11-12):1006-1017.
- Ranasinghe, R.; Symonds, G.; Black, K.; Holman, R., 2004. Morphodynamics of intermediate beaches: a video imaging and numerical modelling study. *Coastal Engineering*, 51: 629–655.
- Ranasinghe, R.; Turner, I.L., 2006. Shoreline response to submerged structures: a review. *Coastal Engineering*, 53: 65–79.
- Roelvink, J.A.; Lesser, G.R.; Wegen, M., 2006. Morphological modeling of the wet-dry interface at various time scales. *Proceedings of the 7<sup>th</sup> International*